

Hf +

I-1739

~~ИМФ, ДМФ~~ (D<sub>0</sub>)

молекулярные

постоянныe

I956

Lichr A.D.

Z.Naturforsch., I956, 11a, № 9, 752-757  
(англ.)

Теория ридберговских серий в молекулярных спектрах.

РЖХ, I957, № 20,

65479

Не имеет еще  
членов к Справочнику  
и определяет  
венных соображений

10

I-1737

1957

$\text{HF}^+$  (I) w/w anhydrous ammonium

Coope J.A.R., Frost D.C., Mc-Dowell C.A.,  
Johns J.W.C., Barrow R.F.

Nature, 1957, I79, N 4571, 1186 ( )

Ionization potentials of hydrogen fluoride  
and the ground-state of the  $\text{HF}^-$  ion.

PK, 1958, N 3, 6903

to



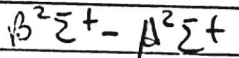
✓

Φ

HFT  
DFT  
Y. sp. cusp.  
65480  
HFT, 1.957, w 267  
- 5-568-1  
Bsp.

Johns J.W.C. Barrow, R.F. (1957)  
Nature (L). 179, 374. I-1738

Y. sp. cusp. more HFT, DFT.



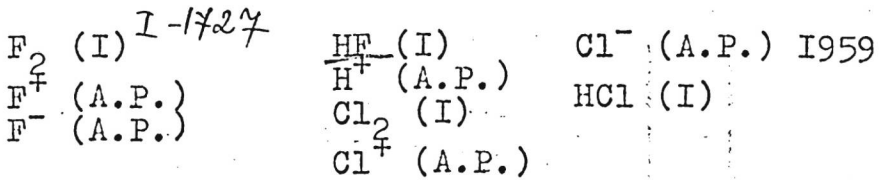
Нижее соп. HFT  $\omega_e = 1.076 \text{ rad}^{-1}$

$$\omega_e = 2377.6 \text{ cm}^{-1}$$

и коррелирует с  $H + F(^2P)$ .

Bsp. Более соп. Коррелирует с  $H + F(^1S)$ .

Зану A<sup>2</sup>Σ+ - оен. саэг., яко иогензационные  
нагрузки. HF = 16,88 эВ.



Thorburn R.

Proc. Phys. Soc., I959, 73, N I, 122-I26  
(англ.)

Ионизация и диссоциация электронным ударом фтора, фтористого водорода, хлора и хлористого водорода.

РЖХ, I959, № I5,  
52354.

М.Ю.



✓  
СР

HF<sup>+</sup>

1960

Electronegativities from comparison of bond lengths in AH and AH<sup>+</sup>. Henry A. Bent (Univ. of Minnesota, Minneapolis). *J. Chem. Phys.* 33, 1258-9(1960).—The value of  $d(\text{A-H}) - d(\text{A-H}^+)$  increases in the order OH, NH, HCl, HBr, CH, BH, BeH, AlH, and MgH. In the 1st 5 cases the difference is a neg. value. This order agrees with the order of decreasing electronegativity of A. It was inferred that the interat. distance in HF<sup>+</sup> is 0.98 Å.

Henry Leidheiser, Jr.

C.A.1961-55-11-100476

1962

5 Д95. Принцип Франка — Кондона и ионизация молекул. Collin Jacques E. The Franck—Condon principle and the ionization of molecules. «Canad. J. Chem.», 1962, 40, № 11, 2172—2175 (англ.)

С целью установления пределов применимости принципа Франка — Кондона изучаются различия в величинах потенциалов ионизации (ПИ), полученных методами электронного или фотонного ударов и спектроскопич. методом. Рассматриваются молекулы галогенов  $X_2$ , галогенводородов  $HX$  ( $X=F, Cl, Br$  и  $I$ ), а также молекулы  $H_2$ ,  $N_2$ ,  $CO$ ,  $O_2$  и  $NO$ . Сопоставлены их характеристики в основном и ионизованном состояниях и определен тип переходов, отвечающих ионизации ( $0-0$ ,  $0-1$  и т. д. переходы). Проанализированы также энергии диссоциации  $D$  молекул  $X_2$  и  $HX$ . Отмечено, что  $D_{HX^+}$  и  $D_{X_2^+}$  всегда больше  $D_{Hx}$  и  $D_{x_2}$ . Эти данные использованы при обсуждении связи величин  $D$  и величин межатомных расстояний. Полученные таким образом результаты показывают, что для рассмотренных молекул принцип Франка — Кондона выполняется достаточно строго, а сходства между ПИ, полученными фотоионизационным методом или методом электронного удара и спектроскопич. методом, можно использовать для оценки изменения межатомных расстояний при ионизации. В. Б.

Молекулы  
и ионизация  
методом

$F_2$ ,  $Cl_2$ ,  $Br_2$ ,  $I_2$ ,  
 $H_2$ ,  $N_2$ ,  $CO$ ,  $O_2$ ,  $NO$ ,  
 $KF$ ,  $KCl$ ,  $KBr$ ,  $KI$

(13)

ф. 1963. 59

БР-3178-7

BP-5E 78-F

- 1962

$\text{HF}^+$ ,  $\text{HeI}^+$

$\text{HB}_2^+$ ,  $\text{HY}^+$

$\text{F}_2^+$ ,  $\text{Cl}_2^+$

$\text{B}_2^+$ ,  $\text{Y}^+$

D<sub>0</sub>

The Franck-Condon principle and the ionization of molecules. Jacques E. Collin (Univ. Liege, Belg.). *Can. J. Chem.* 40, 2172-5(1962). Data on vibrational quantum levels of the ionic states of  $\text{H}_2$ ,  $\text{N}_2$ ,  $\text{O}_2$ ,  $\text{CO}$ ,  $\text{NO}$ ,  $\text{F}_2$ ,  $\text{Cl}_2$ ,  $\text{Br}_2$ ,  $\text{I}_2$ ,  $\text{HF}$ ,  $\text{HCl}$ ,  $\text{HBr}$ , and  $\text{HI}$  are summarized. Vibrational frequencies, ionization potentials, equil. distances, most probable ionization transitions, (calcd.), and most probable exptl. values from electron-impact, photon-impact, and spectroscopic methods are tabulated. The dissocn. energies (kcal./mole) of mol. ions; as calcd. from the exptl. data, are:  $\text{HF}^+$  158,  $\text{HCl}^+$  108,  $\text{HBr}^+$  93,  $\text{HI}^+$  74-8,  $\text{F}_2^+$  77,  $\text{Cl}_2^+$  97,  $\text{Br}_2^+$  83,  $\text{I}_2^+$  90. Thus,  $D(A - B)^+_{B^+}$ , leading to  $B^+$  is higher than  $D(A - B)$  for the halogens but not for the halogen acids, and the Franck-Condon principle is fairly well obeyed.

Yecheskel Rasiel

C.A. 1963.58.4

2857d

HF (Re, no scr. nor (?) XI 2160 1962

HF<sup>+</sup> (Re, no scr. nor?)

Nesbet R. L.

J. Chem. Phys., 1962, 36, 16, 1518-1525 (2020)

Approximate Hartree-Fock calculations for  
the hydrogen fluoride molecule.

Proc. Roy. Soc. 1964,  
155 26



10

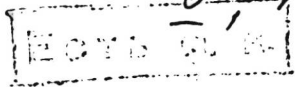
XI 1778

1966

HF<sup>+</sup> (V<sub>i</sub>, w<sub>e</sub>, z<sub>e</sub>) "sp.

Hartmann H., Hensen K.  
Theoret. chim. acta, 1966,

6, n<sup>1</sup>, 20-25



•

10

HF +

Lampka H. J., Price W. C. 1908

J. Chem. Phys., 48, n<sup>o</sup> 4, 1875

Испарение изолированных  
HF и SF

(авт. HF) III

HF<sup>+</sup>

XI-443

1968

(K. W. J. Phillips) 39953n Computed electronic energy levels of HF<sup>+</sup> and the interpretation of photoelectron spectroscopic data. Richards, W. G.; Wilson, R. C. (Phys. Chem. Lab., Oxford, Engl.). *Trans. Faraday Soc.* 1968, 64(7), 1729-34 (Eng). Ab initio matrix Hartree-Fock wave functions are calcd. for the  $X^2\Pi$ ; and  $A^2\Sigma^+$  states of HF<sup>+</sup> at a series of internuclear distances. From the computed potential curves and consideration of the differences in correlation energy between the two levels, est. of the excitation energy and spectroscopic properties of these levels are made. These enable an interpretation of the photoelectron spectrum of HF to be given. The results are in close agreement with one of the two empirical interpretations of the spectrum. 24 references.

RCTD

C.A. 1968. 69.10

XI 443

1968

HF +

кв. - мех.  
расчет

ЗД110. Вычисленные уровни электронной энергии  $\text{HF}^+$  и интерпретация фотоэлектронных спектроскопических данных. Richards W. G., Wilson R. C. Computed electronic energy levels of  $\text{HF}^+$  and the interpretation of photoelectron spectroscopic data. «Trans. Faraday Soc.», 1968, 64, № 7, 1729—1734 (англ.)

С помощью матричного формализма метода Хартри-Фока (метод МО ЛКАО для открытых оболочек, предложенный Несбетом) вычислены неэмпирические волны-ф-ции состояний  $X^3\Pi$ ; и  $A^2\Sigma^+$  иона  $\text{HF}^+$  при пяти межъядерных расстояниях в диапазоне 1,4—2,2 ат. ед. Поскольку в ионе занятymi орбиталиями являются те же орбитали, что и в нейтральной молекуле, и, кроме того, удаленный электрон является несвязывающим  $p-\pi$ -электроном, который слабо влияет на межъядерное расстоя-

Ф. 1969. Зд 110

ние и другие орбитали молекулы, в качестве базиса АО использовался набор, оптимизированный для нейтральной молекулы (РЖФиз, 1968, 4Д79), состоящий из 16 ф-ций  $\sigma$ -типа и 8 ф-ций  $\pi$ -типа. Приводятся использованные при расчете выражения для гамильтонианов и энергий в обсих состояниях. Из вычисленных (с учетом взаимодействия конфигураций и без него) потенц. кривых и рассмотрения разности энергий корреляции между двумя уровнями, сделаны оценки энергии возбуждения и спектроскопич. свойств этих уровней. Даётся интерпретация фотсэлектронного спектра HF, которая находится в согласии с одной из двух эмпир. интерпретаций спектра.

О. Шрамко

XI-943

1968

HF+

ЗБП7. Вычислённые электронные энергетические уровни HF<sup>+</sup> и интерпретация данных фотоэлектронной спектроскопии. Richards W. G., Wilson R. C. Computed electronic energy levels of HF<sup>+</sup> and the interpretation of photoelectron spectroscopic data. «Trans. Faraday Soc.», 1968, 64, № 7, 1729—1734 (англ.)

Матричным методом самосогласованного поля Хартри—Фока как без учета, так и с учетом конфигурационного взаимодействия вычислены энергии электронных уровней X<sup>2</sup>P<sub>1</sub> и A<sup>2</sup>S<sup>+</sup> иона HF<sup>+</sup> при различных межъядерных расстояниях  $R$ . Показано, что энергия уровня A<sup>2</sup>S<sup>+</sup> в интервале  $R=1,4 \div 2,2$  а. е. не имеет минимума. Для стабильного основного уровня X<sup>2</sup>P<sub>1</sub> вычислены значения равновесного межъядерного расстояния  $R_c=1,03$  А и ча-

X · 1969

3

стоты колебания  $\omega_c = 3340 \text{ см}^{-1}$ . Вычислена также величина дублетного расщепления уровня  $X^2\Pi_g$  ( $300 \text{ см}^{-1}$ ), вызванная спин-орбитальным взаимодействием. Результаты применены к интерпретации фотоэлектронного спектра  $\text{HF}^+$ . Структура резкой интенсивной полосы спектра интерпретирована возбуждением колебательных уровней  $\text{HF}$  ( $\omega_c$  (эксп.) =  $3200 \text{ см}^{-1}$ ). Величина интервала между резкой и широкой диффузной полосы согласуется с вычисленным значением энергии вертикального возбуждения  $^2\Pi - ^2\Sigma^+$ .

М. Р. Алиев

BeH, BeH<sub>2</sub>, CH, NH - (cure-oxidant) 1969  
 OH, F, Cl, H, PH, SiH, PH, SH 5. 9. 11  
 Walker T. E. H.; Richards W. C. 14-12-13  
 BQ-IX 801

J. Am. Faraday Soc. 1968, (2), 64-8

In situ combustion of spinel  
 oxide coupling cores faceted  
 diafacitic molecules. B6704

20

PA 1969 21. 06. 963541

$\mathcal{I}(\text{HF}, \text{HF}^+, \text{DF}, \text{DF}^+)$  XI 814 1970  
 $\mathcal{D}_0(\text{HF}^+, \text{HF}, \text{DF}, \text{F}_2)$  II

Brenndle C.R.,

Chem. Phys. Lett., 1970, 7, v3, 317-322  
(au71)

Ionization and dissociation energies  
of HF and DF and their bearing  
on  $D_0^\circ(F_2)$ .

Published, 1971, 75175 W



X1 2738

1871

$\mu F^+$

$\mu F^-$

$F_2$

$D_0$

measured up

(+2) 11

C.A. 1972.76

Phys., 1972, 32 433

29408u Experimental potential energy curves for  $X^2\Pi$  and  $^2\Sigma^+$  states of  $HF^+$ . Berkowitz, J. (Argonne Natl. Lab., Argonne, Ill.). *Chem. Phys. Lett.* 1971, 11(1), 21-6 (Eng). The 4 vibrational bands obsd. in the photoelectron spectrum for the  $^2\Sigma^+$  state of  $HF^+$  indicate that the dissocn. energy ( $D_0$ ) of  $HF$  cannot be significantly  $< 5.86$  eV; thus, the  $D_0$  of  $F_2$  is  $\sim 1.59$  eV. The DF photoelectron spectra confirm these results. The consts.  $\omega_e$  ( $\text{cm}^{-1}$ ),  $\omega_e x_e$  ( $\text{cm}^{-1}$ ), and  $r_e$  ( $\text{\AA}$ ) were 3016, 75, and 1.026 for the  $X^2\Pi$  state of  $HF^+$ ; 1516, 113, and 1.20 for the  $^2\Sigma^+$  state of  $HF^+$ . The  $^2\Pi_{3/2}-^2\Pi_{1/2}$  splitting is  $\sim 30$  meV. The potential-energy well depth was 3.59 (or 3.61) eV for the  $^2\Pi$  state of  $HF^+$  and 0.45 eV for the  $^2\Sigma^+$  state. Literature calcd. and exptl. data are discussed.

X1 2483

1971

Hf<sup>-</sup> +

19664b Hartree-Fock energy curves for  $X^2\Pi$  and  $^2\Sigma^+$  states of HF<sup>+</sup>. Julienne, P. S.; Krauss, M.; Wahl, A. C. (Natl. Bur. Stand., Washington, D.C.). *Chem. Phys. Lett.* 1971, 11(1), 16-20 (Eng). Hartree-Fock energy curves were calcd. for the  $X^2\Pi$  and  $^2\Sigma^+$  states of HF<sup>+</sup> and were applied to an anal. of the photoelectron spectra of HF. The  $^2\Sigma^+$  energy curve has a barrier  $\sim 0.07$  eV high primarily due to a repulsive ion-quadrupole interaction, and a depth of 0.37 eV. This curve will support 2 bound states and one shape resonance with a half-width of 0.015 eV. The energy curves are probably accurate to 0.1 eV, but results accurate to within 0.03 eV are required to resolve the exptl. questions on the dissociation energy for the ground state of HF. The most recent exptl. photoelectron results of J. Berkowitz (1971) encouraged a model calcn. of the vibrational states of the  $^2\Sigma^+$  state. Assuming a dissociation energy of 0.45 eV and retaining the barrier, 3 bound and one shape resonance vibrational levels were calcd. for HF<sup>+</sup> in agreement with the results reported by Berkowitz.

C.A. 1971

46 4



(+1)

Hf<sup>-</sup> - 920402  
evening

$\text{HF}^+$

XI-2753

1971

расчет

м.н.

R<sub>0</sub>

7 Б14. Хартри-Фоковские кривые потенциальной энергии  $X^2\Pi$  и  $^2\Sigma^+$  состояний молекулы  $\text{HF}^+$ . Julien-pe P. S., Krauss M., Wahl A. C. Hartree-Fock energy curves for  $X^2\Pi$  and  $^2\Sigma^+$  states of  $\text{HF}^+$ . «Chem. Phys. Lett.», 1971, 11, № 11, 16—20 (англ.)

Ограничением методом Хартри-Фока рассчитаны кривые потенциальной энергии двух нижних электронных  $X^2\Pi$  и  $^2\Sigma^+$  состояний молек. иона  $\text{HF}^+$  с использованием базисов слейтеровских и гауссовых функций. Различие результатов, полученных с использованием обоих базисов, незначительно. Найдено, что: 1) состояние  $^2\Sigma^+$  имеет потенциальный барьер (высотой 0,07 эв), вызванный конкуренцией дальнодействующего отталки-

X. 1972-7

вания (ион—квадруполь) и близкодействующего притяжения; 2) глубина потенциальной ямы  ${}^2\Sigma^+$  0,37 эв, энергия диссоциации состояния  $X^2\Pi$  3,56 эв; 3) в потенциале состояния  ${}^2\Sigma^+$  имеются два связанных состояния, разделенных энергией 0,16 эв и одно квазистационарное (на 0,043 эв выше границы диссоциации с полушириной 0,015 эв). Полученные результаты обсуждены в связи с данными фотоэлектронной спектроскопии (см. след. реф.). Согласие с эксперим. данными получается в предположении, что энергия диссоциации в состоянии  ${}^2\Sigma^+$  равна 0,45 эв, а высота барьера совпадает с рассчитанной.

А. Зембеков

Secret recept. CH, CH<sup>+</sup>, CH<sub>2</sub>, CH<sub>2</sub><sup>+</sup>, CH<sub>3</sub>, CH<sub>3</sub><sup>+</sup>  
suspect. Ei, Ji (CH<sub>3</sub>; CH<sub>4</sub><sup>+</sup>, CH<sub>5</sub>; CH<sub>5</sub><sup>+</sup>, NH,  
NH<sup>+</sup>, NH<sub>2</sub>; NH<sub>2</sub><sup>+</sup>; NH<sub>3</sub>; NH<sub>3</sub><sup>+</sup>;  
NH<sub>4</sub>; NH<sub>4</sub><sup>+</sup>; OH, OH<sup>+</sup>, OH<sub>2</sub>; FH,  
OH<sub>2</sub><sup>+</sup>; OH<sub>3</sub>; OH<sub>3</sub><sup>+</sup>; FH, FH<sup>+</sup>, FH<sub>2</sub>)  
Nathan W.A., Kekre W.J., Curtiss F.H.,  
Pople J.A.  
J. Amer. Chem. Soc., 1971, 93, N<sup>o</sup> 24,  
6377-87

b

PX72

OH, HF<sup>+</sup>, HF, HF<sup>-</sup>, NeH<sup>+</sup>, NeH (E<sub>i</sub>; Z<sub>e</sub>, D<sub>o</sub>,  
v.c.n., pacim) 1512

Bondybey V., Pearson P. K., Schaefer H. F. III, 3141

J. Chem. Phys., 1972, 57, N3, 1123 -  
- 1128 (abs.)

Theoretical potential energy  
curves for OH, HF<sup>+</sup>, HF, HF<sup>-</sup>, NeH<sup>+</sup>  
and NeH.

Rev. Sci. Inst., 1972, 43, 1524 5 10 (P)

$\text{HF}^+$

Hinkley R. K. ;  
et al.

1972

"Mol. Phys"

paareu.  
1972, 24, N5, 1095-102.

коисм. смес.-орбита. взаимо-  
действий ...

(ал. BeH;  $\text{III}$ )

HF<sup>+</sup>

X7-2932

1972

117727c Electronic structure of HF<sup>+</sup>. Raftery, J.; Richards, W. G. (Phys. Chem. Lab., Oxford, Engl.). *J. Phys. B* 1972, 5(3), 425-31 (Eng). Ab initio self-consistent field calcns. of potential energy curves for the ground and 1st excited states of HF<sup>+</sup> have been performed. The excited  $A^2\Sigma^+$  state is bound, in agreement with the most recent exptl. results. Qual. arguments suggesting that the Hartree-Fock potential curves dissoc. to the correct at. limits are borne out by the calcns. A previous suggestion that interaction of the ground state  $x^2\Pi$  with an excited state significantly affects the shape of the curve is not supported. Calcns. have also been made of the perturbations between the lowest states due to spin-orbit interactions.

Op - your  
nervousness.  
Depress;  
Mr. exp.  
pacres

C.A. 1972-76-20, 112727c

HF<sup>+</sup>

XI-2932

1972

17 Б78. Электронное строение HF<sup>+</sup>. Raftery J., Richards W. G. The electronic structure of HF<sup>+</sup>. «J. Phys. B: Atom. and Mol. Phys.», 1972, 5, № 3, 425—431 (англ.)

Проведен расчет двух низших связанных состояний иона HF<sup>+</sup> с хартри-фоковской точностью. Ряд более высоких состояний рассчитан с несколько меньшей точностью. Кроме основного состояния  $X^2\Pi$ , связанным является также состояние  $A^2\Sigma^+$ . Рассчитанные равновесные расстояния для этих состояний равны 0,98 и 1,22 Å соотв. (эксперим. данных нет), а теор. частоты колебаний в гармонич. приближении равны соотв. 3453 ( $3340 \text{ см}^{-1}$ ) и 1387 ( $1500 \text{ см}^{-1}$ ), где в скобках — эксперим. значения. Теор. потенциал ионизации состояния

расчет

87

X. 1972

14

$X^2\Pi$  на 1,59 эв ниже, а для состояния  $A^2\Sigma^+$  — на 1,23 эв ниже, чем соотв-щее эксперим. значение. На потенциальной кривой состояния  $A^2\Sigma^+$  расчет обнаруживает максимум (высота барьера около 0,2 эв) на расстоянии порядка 2А, где применимость метода Хартри—Фока вызывает сомнения. Из числа 8 остальных более высоких рассчитанных потенциальных кривых,  $^4\Pi$  имеет не-  
дубокий и узкий минимум.

Т. К. Ребане

$\text{HF}^+$

XI-2932

1972

J. Raftery, W.G. Richards

J. Phys. B: Atom Molec. Phys. 1972

$\Sigma$ , 425, (N3)

Электронная структура  $\text{HF}^+$

Расчет ab initio нагенерированных кривых осциллаций и  
регистраций состояний  $\text{HF}^+$ . Состояния  $A^2\Sigma^+$ -серии

Табл. I Сравнение набр. и параметрических оценок сеч. д.п.

Сеч.	Параметр.				Наб.			
	ω <sub>р</sub> (с <sup>-1</sup> )	τ <sub>р</sub> (Å)	T <sub>р</sub> (eV)	I. P./ω	ω <sub>р</sub>	τ <sub>р</sub> (Å)	T <sub>р</sub> (eV)	I. P./eV
X <sup>2</sup> Π	3453	0.98		14.45	3340	-	0	16.04
A <sup>2</sup> Σ <sup>+</sup>	1387	1.22	3.41	17.56	1500	-	3.05	19.09

Наблюдаемое сечение определено с помощью ф-ции  $\chi^2\Pi$ .

40226.7302  
Ch, Ph, TE

HF<sup>+</sup> XI-3758  
- 96201

1973  
1838

Bruce R.E., Mitchell K.A.R., Williams M.L.  
A comparison of perfect pairing and  
molecular orbital methods for the  
calculation of molecular properties  
of HF and HF<sup>+</sup>.

"Chem. Phys. Lett.", 1973, 23, N 4, 504-507

(для HF; III)

0050 шк

034 035 0043

Рига, 1977, 6214 ВИНИТИ

~~HF+~~

Summerall 2106

1973

bounced

9-441

Cade Paul E.

Huo Winifred .

" Atom. Data and Nucl.  
Data Tables."

1973, 12 v.5- 415-66

IX-5150

1975

FH<sup>+</sup>

Abegg P. W.

Mit. Phys., 1915, 30,

paracem

enriched - object N2, 549-546

Bgalvadg.

X. 1978 N.3

Cu CH; III

50703.7561

Ch, Ph, MGU, TC

41125

 $HF^+$  XI-4428

1975

4123

Čársky P., Kuhn J., Zahradník R. Semiempirical all-valence-electron MO calculations on the electronic spectra of linear radicals with degenerate ground states. "J. Mol. Spectrosc.", 1975, 55, N 1-3, 120-130

(англ.) <sup>full C4; III</sup>

377 378 0343 0401 пик ВИНИТИ  
 CA 1975, 82 N 26, 177363 p

HF<sup>+</sup>

ommun 4059

1975

Figeys H.P.; et al.

Bruxelles Belg. Bull. Soc. Chim.

(E) Belg., 1975, 84,

N3, 145-58

HF<sup>+</sup>

12 Д257. Электронный спектр HF<sup>+</sup>. Gewurz S., Lew H., Flainek P. The electronic spectrum of HF<sup>+</sup>. «Can. J. Phys.», 1975, 53, № 11, 1097—1108 (англ.; рез. франц.)

1975

Впервые зарегистрирован спектр излучения HF<sup>+</sup>; для его возбуждения использован разряд низкого давления с накаленным катодом. Область спектра 3580—4830 Å, содержащая полосы системы  $A^2\Sigma^+ - X^2\Pi$ , сфотографирована при дисперсии 1,2 Å/мм. В спектре представлены 9 полос переходов между  $v''=0-2$  и  $v'=0-3$ . Каждая полоса образована 12 ветвями, соотношение интенсивностей компонент подтверждает принадлежность системы переходу  ${}^2\Sigma - {}^2\Pi$ . В результате анализа структуры полос определены вращательные константы верхнего и нижнего состояний перехода. Резкое уменьшение интенсивности линий с ростом N, свидетельствующее о предиссоциации, дает для состояния  $A^2\Sigma^+$  энергию диссоциации на  $H^+({}^1S)$  и  $F({}^2P_{1/2})$   $3203 \pm 50$  см<sup>-1</sup>. Барьер с энергией 580 см<sup>-1</sup>, предсказываемый теорией для потенц. кривой состояния  $A^2\Sigma^+$ , не проявляется в спектроскопич. данных вследствие сильного туннельного эффекта. Библ. 29.

В. А.

Электр.  
спектр

ф. 1975

н12

2257

XI-4593

3216  
и 3252

Одимск.

HF +

ominick 3216 u

1975

3252

105751n Electronic spectrum of hydrogen fluoride(+).  
Gewurtz, S.; Lew, H.; Flainek, P. (Div. Phys., Natl. Res. Counc. Canada, Ottawa, Ont.). *Can. J. Phys.* 1975, 53(11), 1097-108. (Eng). The  $A^2\Sigma^+ - X^2\Pi$  emission spectrum of HF<sup>+</sup>, between 3580 and 4830 Å, was photographed at high resoln. and measurements on 8 bands are reported. The anal. yields rotational and vibrational consts. of the X state for  $v = 0$  to 2 and of the A state for  $v = 0$  to 3. A predissocn. by rotation in the  $A^2\Sigma^+$  state is obsd. and yields a dissocn. energy of  $3203 \pm 50$  cm<sup>-1</sup> above the  $v = 0, N = 0$  level of this state. This corresponds to a dissocn. into H<sup>+(1S)</sup> + F(<sup>2</sup>P<sub>1/2</sub>). A detailed comparison with previous results obtained from photoelectron and photoionization expts. and from recent theor. calcns. is given.

XI-4593

C.A. 1975. N12

60206.3690

Ch. TC

49587

HFT

1975

\* 4-11503

Jaffe Richard L., Isaacson Alan D.,  
 Laing John R., Morokuma Keiji, George  
 Thomas F. Calculations of potential ener-  
 gy surfaces in the complex plane. V. The  
 $^2\Sigma^+$  and  $^2\Pi$  states of HF $^+$ . "Theor.  
 chim. acta", 1975, 40, N 3, 189-197  
 (англ.)

527.531

54

0555

ПМК

ВИНИТИ

HF+

KB 11503

1975

84: 111895z. Calculations of potential energy surfaces in the complex plane. V: The  $^2\Sigma^+$  and  $^2\Pi$  states of hydrogen fluoride(+). Jaffe; Richard L.; Isaacson, Alan D.; Laing, John R.; Morokuma, Keiji; George, Thomas F. (Dep. Chem., Univ. Rochester, Rochester, N.Y.). *Theor. Chim. Acta* 1975, 40(3), 189-97 (Eng); The energies of the  $^2\Sigma^+$  and  $^2\Pi$  states of the HF $^+$  system were calcd. by the ab initio restricted Hartree-Fock method at a no. of real and complex values of the internuclear sepn. The energies of the assocd. spin-orbit states are calcd. via a semiempirical scheme. The complex intersection point of these energy curves, an integral component of a semiclassical theory of electronic transitions, is detd. by the ab initio calens. The intersection point is also detd., for comparative purposes, by other methods of analytic continuation, i.e., Gaussian and rational-fraction fits to the real-valued energy calens. Semiclassical dynamical calens. of the cross section for the process  $F(^2P_{3/2}) + H \rightarrow F(^2P_{1/2}) + H^+$  using the various intersection points yield differences up to 20%.

Kb. rec'd.  
pacem

Card 1976. 84 w 16

HF<sup>+</sup>

\* 49-11503

1975

12 Б32. Расчет поверхностей потенциальной энергии в комплексной плоскости. V. Состояния  $^2\Sigma^+$  и  $^2\Pi$  молекулы HF<sup>+</sup>. Jaffe Richard L., Isaacson Alan D., Laing John R., Mogokuma Keiji, George Thomas F. Calculations of potential energy surfaces in the complex plane. V. The  $^2\Sigma^+$  and  $^2\Pi$  states of HF<sup>+</sup>. «Theor. chim. acta», 1975, 40, № 3, 189—197 (англ.)

расчет  
поверхн.  
помисы  
Энгрич

Ограничанным методом Хартри—Фока в описанном ранее варианте (см. часть III, РЖХим, 1975, 9Б67), рассчитаны нижние термы  $^2\Sigma^+$  и  $^2\Pi$  системы HF<sup>+</sup>, коррелирующие при увеличении межъядерного расстояния  $R$  с  $F(^2P) + H^+$ . В качестве базиса использованы гауссовы функции ( $10s$ - и  $6p$ -АО на F и  $5s$ -АО на H), сгруппированные в  $5s$ - и  $3p$ -АО на F и  $3s$ -АО на H. Спин-орбитальное взаимодействие учтено полуэмпири-

X1976 N12

чески в предположении, что константа взаимодействия не зависит от  $R$ . Найдено, что термы  $^2\Sigma_{1/2}$  и  $^2\Pi_{1/2}$ , не пересекающиеся при действительных значениях  $R$ , пересекаются в комплексной плоскости  $R$  при  $R_c = -7,49426 \pm 3,0087 i$  ат. ед. Аналитич. продолжение термов с действительной оси, использующее их представление в виде рациональной дроби от  $R$  и учитывающее корневую особенность разности термов, дает  $R_c = -7,4348 \pm 3,1888 i$  ат. ед. Квазиклассич. расчет сечения перехода между компонентами ТС в процессе  $F(^2P_{1/2}) + H^+ \rightarrow F(^2P_{3/2}) + H^+$  показывает, что это различие в точках пересечения ведет к расхождению сечений на 20 %. Отмечается, что аналитич. продолжение термов, основанное на аппроксимации их разности гауссовыми функциями дает заметно худшие результаты.

Е. Е. Никитин

HF+

артикл A-2948 1975

Pagurus A.A.

(н.н., Do,  
ав.ноем,  
?)

В сб. "Pisces russelli"  
1975, стр 2, 3-61, cl,  
Амурский арх.

50909.7342  
Ph, TC, MGU

+ + 42529

1975

HF

\* 4-9734

Shaw R.W., Jr. Thomas T.D.

Auger electron spectrum and ionization  
potentials of the HF molecule.

"Phys. Rev. A : Gen. Phys.", 1975, 11, N 5,  
1491-1497 (англ.)

0445 5114

418 419 420 421

ВИНИТИ

BX -85

1976

Liz, C<sub>2</sub>, BN, BM<sup>+</sup>, CH, CH<sup>+</sup>, NH, OH, O<sup>+</sup>,  
FH, FH<sup>+</sup> (C<sub>60</sub>. noci; pacui)

Avel F., Casado J., Ries M.A.; Tato V.

An. Quim. 1046, 72/6), 505-8

Theoretical study of force constants  
iii Interatomic forces in diatomic  
molecules.

C.A. 1976, 85, N22, 168984C

10 (9)

60518.4281

TC, Ph, Ch

30526GR

1976

HF <sup>2+</sup> /head/

\* 45-12827

Hillier I.H., Kendrick J. Configuration interaction calculations of the Auger spectrum of CH<sub>4</sub>, HF, H<sub>2</sub>O and CO. "Mol. Phys.", 1976, 31, N 3, 849-853  
(англ.)

0623 ник

596 599 615

ВИНИТИ

HF<sup>+</sup>

OMNI 5218

1977

Bogar D. J., et al.

(U.K.  
X-ray diff.) J. phys. chem. 1977, 81,  
no, 888-98

70512.4538

(icb. исх. пачки)

1977

Ph, Ch, TG, MGU

41125

HFT

\*18-18396

Green Sheldon, Zare Richard N.

Ab initio calculation of the spin-rotation constant for  ${}^2\text{II}$  diatomics. Test of the Van Vleck approximation."J. Mol. Spectrosc.", 1977, 64, N 2, 217-222  
(англ.)

827 832

86 h

0875 нм

ВИНИТИ

вид. OH i III

$H^+$

annucci 5471

1974

Huntress W.T., Jr.

Astrophys. J. Suppl. Ser.,  
1972, 25, (4), 495-514.

$(\delta H^+, \gamma)$

•  
 $(\text{err. } H^+; \text{ III})$

HF<sup>+</sup>

XG-17790

1977

Rosmer & P. et al.

(u,n)

J. Chem. Phys., 1977

66 13-19



(acc. LiH<sup>+</sup>;  $\gamma$ )

1974  
HF<sup>+</sup>

27. 11.

геллер

(+1)

в

дек

2, 1978, № 4

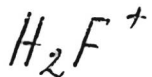
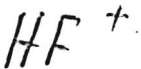
14 Б38. Неэмпирические расчеты по методу валентных схем. VII. HF, HF<sup>+</sup> и H<sub>2</sub>F<sup>+</sup>. Tantardini G. F., Simonetta M. Ab initio valence bond calculations. VII HF, HF<sup>+</sup>, and H<sub>2</sub>F<sup>+</sup>. «Int. J. Quant. Chem.», 1977, 12, 3, 515—525 (англ.; рез. франц., нем.)

Методом валентных схем в базисе сгруппированных слейтеровских орбиталей выполнены расчеты энергий, равновесных геометрий и спектроскопич. характеристик основного и ряда возбужденных состояний молекул HF, HF<sup>+</sup> и основного состояния H<sub>2</sub>F<sup>+</sup>. Базисные наборы слейтеровских орбиталей содержали AO 1s, 2s и 2p на ядре F и одну AO 1s на ядре H. Вычисления проведены в двух базисах, отличавшихся числом AO 2s и 2p на ядре F. Для молек. расчетов в обоих вариантах было построено 6 сгруппированных AO: 1s<sub>F</sub>, 1s<sub>H</sub>, связывающая и несвязывающая гибридизованные sp-орбитали на ядре F и две AO фтора 2p<sub>π</sub>. Св-ва состояний HF и HF<sup>+</sup> определены в каждом из базисов в двух приближениях: с учетом всех электронов и в валентном приближении (2 электрона на AO 1s фтора совмещены с ядром). Для HF вычислены первые потенциалы ионизации. Характеристики основного состояния H<sub>2</sub>F<sup>+</sup> рассчитаны только во 2-м приближении. Различия в полных

энергиях ( $E$ ) и энержиях диссоциации ( $D$ ), обусловленные изменением размерности базиса исходных АО и способа учета внутренних электронов, имели порядок  $10^{-3}$  ат. ед. Сравнение с результатами более точных расчетов и эксперим. данными показало, что описанный подход обеспечивает хорошее приближение по  $D$  и силовым постоянным и несколько худшее — по  $E$ , дипольным, моментам, геометрии, и зависящим от нее вращательной постоянной и постоянной ангармоничности. Опыт предшествовавших расчетов свидетельствует также, что геометрия м. б. аппроксимирована значительно лучше, если в базис слейтеровских АО включить поляризационные функции.

В. Ф. Хрустов

ску.  
ет



C. J. G. H. F.,

U.S. R.

K. E. M. E. S. P. A. E. L. F.

88: 4193-4t Ab initio valence bond calculations. VII.  
Hydrogen fluoride and hydrogen fluoride(1+) ions ( $\text{HF}^+$  and  $\text{H}_2\text{F}^+$ ). Tantardini, G. F.; Simonetta, M. (Ist. Chim.-Fis., CNR, Milan, Italy). *Int. J. Quantum Chem.* 1977, 12(3), 515-25 (Eng). Ab-initio VB calcns. for the ground and excited states of HF and  $\text{HF}^+$  are presented. Total energies, equil. geometries, dissocn. energies, dipole moments, and spectroscopic consts. for HF and  $\text{HF}^+$  were calcd. The photoelectron spectrum of HF was examd. and interpreted by means of the VB formalism. The ground state of the protonated species  $\text{H}_2\text{F}^+$  was investigated.

(+1)

C.A. 1978, 82, 116

*Hf +*

*7978*

23 Б156. Инфракрасная хемилюминесценция в реакции атомов водорода с фторэтиленами. Jones W. E., Matiopoulos G., Wasson J. S., Liu M. T. H. Infrared chemiluminescence from the reaction of hydrogen atoms with fluoroethylenes. «J. Chem. Soc. Faraday Trans.», 1978, Part 2, 74, № 5, 831—842 (англ.)

Изучены р-ции атомов водорода с фторзамещ. этиленами  $C_2F_4$ ,  $C_2HF_3$ , 1,1- $C_2H_2F_2$  и  $C_2H_3F$ . Исследовано изменение интенсивности появляющейся в ходе этих р-ций ИК-хемилюминесценции (область 2,3—3,5 мкм) возбужденной молекулы  $HF^+$  (вплоть до  $v'=3$ ) при различных давл. в присутствии  $Ag$  или  $He$ . Полученные результаты интерпретированы с помощью простой модели Берри.

B. Трембовлер

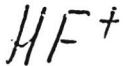
*ИКИМСИЕ*

*4.1. ИК-ИМСИЕ*

*ИМСИЕ*

*21978, № 23*

1978



homework,  
pp - 448

88: 1980701 Theoretical study of reactive processes in the  $\text{FH}_2^+$  system by ab initio MCSCF-CI and diatomics-in-molecules calculations. Kendrick, J.; Kuntz, P. J.; Hillier, I. H. (Ber. Strahlenchem., Hahn-Meitner-Inst. Kernforsch. Berlin G.m.b.H., Berlin, Ger.). *J. Chem. Phys.* 1978, 68(5), 2373-85 (Eng). Ab initio MCSCF-CI calns. of the diat. potential curves of  $\text{HF}^+$  arising from  $\text{H}^+ + \text{F}(^2\text{P})$  and  $\text{F}^+(^3\text{P}) + \text{H}(^2\text{S})$  atoms are used in the diats.-in-mols. (DIM) formalism to obtain potential energy surfaces for six  $^3\text{A}'$  and six  $^3\text{A}''$  states of  $\text{FH}_2^+$ . Energy splittings between the 2 lowest  $^3\text{A}'$  surfaces in the region of an "avoided crossing" seam in the entrance channel are made to agree with ab initio calns. on the triat.  $\text{FH}_2^+$ . The resulting DIM surfaces are used to find energetically accessible pathways for the reaction  $\text{F}^+(^3\text{P}) + \text{H}_2(\text{X}^1\Sigma_g^+) \rightarrow \text{HF}^+(\text{X}^2\Pi) + \text{H}$  and related reactions which were obsd. exptl. Empirical approxns. to the interaction between  $\text{F}^+(^1\text{D})$  and H atoms are used in constructing model diabatic potential surfaces for the  $^1\text{A}'$  states of  $\text{FH}_2^+$ . Intersections of these surfaces illustrate what products might be expected from the reaction of  $\text{F}^+(^1\text{D})$  metastable ions with  $\text{H}_2$  mols.; results support recent exptl. evidence that the dynamics of  $\text{F}^+(^1\text{D})$  ions reacting with  $\text{H}_2$  are quite different from those of  $\text{F}^+(^3\text{P})$  ions.

C.A. 1978, 88, 1426

$\text{HF}^+$  (ee.s., creekmp) XI-6225 1978

Van Sprang H.A., Heer F.J. de.

Chem. Phys., 1978, 33, n1, 43-78 (seeu.)

A study of the emission spectra  
of HF excited by electrons.

O.M. XI-6225

McKee, 1979, 45 124

10

⑨

HF<sup>+</sup>

б) исследование  
уровней  
релаксации

15.12

5 Д757. Наблюдение высоких вращательных уровней молекул HF, образующихся в химической реакции в присутствие буферного газа (Ar) при давлении 1 мм рт. ст. Sung J. P., Setsger D. W. Observation of high rotational levels of HF formed by chemical reaction in one torr of argon buffer gas. «J. Chem. Phys.», 1978, 69, № 8, 3868—3869 (англ.)

В спектральной области 4500—3600 см<sup>-1</sup> исследована хемилюминесценция молекул HF<sup>+</sup>, образующихся в газофазных химич. реакциях атомарного фтора с HJ, HBr, H<sub>2</sub>S, H<sub>2</sub>CO, SiH<sub>4</sub> и GeH<sub>4</sub>. Установлено, что релаксация молекул HF<sup>+</sup>, возбужденных на высокие ( $J \geq 10$ ) вращательные уровни колебательных состояний  $v \sim 1 \div 6$ , даже в присутствии буферного газа (Ar) при давл. 1 мм рт. ст., характеризуется значительно меньшей скоростью, чем релаксация с уровнем  $J \leq 9$ . Замена Ar на He увеличивает скорость вращательной релаксации HF<sup>+</sup>. Сделан вывод, что в указанных условиях может наблюдаться сильная инверсия населенности между вращательными уровнями HF<sup>+</sup>. Полученные данные качественно согласуются с результатами исследования характеристик лазера на вращательных переходах HF. С. Л.

Ф. 1979 N5

$\text{HF}^+$

отмечена 6826 |

1948

Van Sprang H.A.

Chem. Phys., 1948, 33, n<sup>o</sup> 1,  
73-78 (авво.)

спектр  
ионизации.



(авво.  $\text{HF}^+$ ) III

HF<sup>+</sup>

Summer 6784

1978

Rydboe  
 $X^2\Pi$

89: 50688p  $\Lambda$ -Type doubling and spin-doubling in hydrogen fluoride(+). Wilson, I. D. L. (Phys. Chem. Lab., Oxford Univ., Oxford, Engl.). *J. Mol. Spectrosc.* 1978, 70(3), 394-404 (Eng). Calens. were performed on the  $\Lambda$ -type doubling and spin-doubling parameters of HF<sup>+</sup>. Agreement was obtained with expt. if continuum vibrational levels of the  $A^2\Sigma^+$  state were included in the perturbation series used to calc. the parameter  $p^{II}$  and  $q^{II}$  for the  $X^2\Pi$  state. This is in complete contrast to the case of the isoelectronic mol. OH, for which agreement is obtained with just the bound vibrational levels of the  $A^2\Sigma^+$  state.

c. A. 1978. 89 N6

10041 FH+ Osmium 9944 1980

Trivedi H.P., et al

pacem J. Chem. Phys., 1980, 72,  
etc. N5, 3438-3439.



(See BET) III

$\text{HF}^+$

1981

Д63. Прямое суммирование по колебательным уровням:  $\Lambda$ -удвоение в  $\text{HF}^+$ . Direct summation over vibrational levels:  $\Lambda$  doubling in  $\text{HF}^+$ . Hutson Jeremy M., Cooper David L. «J. Chem. Phys.», 1981, 75, № 9, 4502—4506 (англ.)

Величина  $\Lambda$ -удвоения в электронно-колебательно-вращательных спектрах двухатомных молекул выражается через параметры  $p$  и  $q$ , представляющие собой бесконечные суммы по колебательным состояниям от поправок второго порядка операторов спин-орбитального и кориолисова взаимодействия. Для вычисления этих сумм используется процедура, в которой суммы вычисляются непосредственно из заданных потенц. кривых без привлечения численных значений колебательных волн. ф-ций. При этом учитываются как связанные, так и несвязанные состояния. Выполнен расчет величин  $p_v$  и  $q_v$  для колебательных уровней с  $v \leq 2$  электронного состояния  $X^2\Pi$ ; иона  $\text{HF}^+$ . Отмечено, что вклад не прерывного спектра в  $\Lambda$ -удвоение сравним с вкладом дискретного спектра.

М. Р. Алиев

расчет

м.п.

φ 1982, 18, N5.

*HF<sup>+</sup>*

1981

10 Б124. Прямое суммирование по колебательным уровням:  $\Lambda$ -удвоение в  $\text{HF}^+$ . Hutson J. M., Cooper D. L. — Direct summation over vibrational levels:  $\Lambda$  doubling in  $\text{HF}^+$ . «J. Chem. Phys.», 1981, 75, № 9, 4502—4506 (англ.)

Методом Хэутсона и Говарда («Mol. Phys.», 1980, 41, 1113), развитым для проведения промежут. суммирований по колебательным состояниям в выражениях для параметров  $\Lambda$  и спинового удвоения и основанным на вычислении этих выражений непосредственно из потенциальных кривых (метод прямого решения), проведен новый расчет параметров  $\Lambda$  удвоения молекулы  $\text{HF}^+$ . Отмечается, что этот метод не требует знания колебательных волновых функций для возмущенных электронных состояний и работает как для связанных, так и не связанных возмущенных состояний. В. М. Михайлов.

*м.п.,*

*$\Lambda$ -удвоение*

*X. 1982, 19, N 10.*

FH<sup>+</sup>

Lommel 11768 | 1981

Rosmus P., et al.

(80) J. Chem. Phys., 1981,  
74 (?), p. 4217.

Comment on the ...

HF<sup>+</sup>

Domnica 11638

1981

Segal C. A.; et al.

Jaeger  
Kubasik  
Nowak  
Meyer

Chem. Phys., 1981, 56  
321-26.

(all. HF; III)

$HF^+$

1982

Bessis N, Tergiman Y. S.

paorii

sp. n.

J. Mol. Spectrosc.,  
1982, 93, N1, 16-45.

(Cet. CN; III)

$\text{HF}^+$

1982

Pacree  
Komesig.  
Kralovix

Betterdorff Mare,  
Buerker Robert J.,  
et al.

Z. Phys., 1982, A 304,  
N2, 125-135.  
(cev. HF; II)

$FH^+$

1982

5 Д53. Расчет двухатомных фрагментов для многоатомных систем методом атомов в молекулах  $FH$  и  $FH^+$ . Atoms-in-molecules calculations on diatomic fragments of polyatomic systems.  $FH$  and  $FH^+$ . Polák R., Vojtík J., Schneider F. «Chem. Phys. Lett.», 1982, 85, № 1, 107—110 (англ.)

Методом атомов в молекулах Моффита проводится расчет кривых потенц. энергии (КПЭ) фрагментов  $FH$  и  $FH^+$  для использования их в расчетах методом двухатомных фрагментов в молекулах системы  $FH_2^+$ . Используются два варианта метода: а) эрмитовский метод Моффита; б) ортогонализованный метод Моффита. В качестве базисных ф-ций использовался набор  $1s$ ,  $2s$ ,  $2p$  гауссовых ф-ций. Рассчитанная КПЭ основного  $^1\Sigma^+$ -состояния  $NF$  хорошо согласуется с экспериментальной РРК кривой, за исключением области малых расстояний, где она имеет более кругой подъем. Все остальные кривые, коррелирующие с  $N$  ( $1s^2$ ) состояния МГ, отличаются от соответствующими и соответствующими КПЭ. Для фрагмента  $NF^+$  в  $^2\Pi$ -состояния  $^2\Sigma^+$  являются связанными и известными результатами. А. Зембеков

и. п., расчет

φ 1982, 18, N5.

FH<sup>+</sup>

[Om. 16886]

1983

Farrell Y., Pople J.A,  
et al.

ab initio  
pacreeur

J. Phys. Chem., 1983,  
87, N1, 79-82.

$\text{HF}^+$

1983

Rosmus P.

Bull. Soc. Chim. Belg., 1983,  
CNEKMP, 92, N6-7; 16th Int Sump.  
genoubl-  
meur Free Radicals. Laerzelle-  
lecoq, Ottignies, Sept. 12-16, 1983,  
603-604.  
(ceur.  $\text{ArH}^+$ ; III)

$\text{HF}^+$

Октябрь

1984

12 Л164. Измерение вращательного спектра иона  $\text{HF}^+$  методом спектроскопии лазерного магнитного резонанса. Measurement of the rotational spectrum of  $\text{HF}^+$  by laser magnetic resonance. Hovde D. C., Schäfer E., Strahan S. E., Ferragut C. A., Ray D., Lubic K. G., Saykally R. J. «Mol. Phys.», 1984, 52, № 1, 245—249 (англ.)

Методом спектроскопии лазерного магн. резонанса получены спектры вращательных переходов в состоянии  $X^2\Pi$  иона  $\text{HF}^+$ . С использованием линий лазеров на  $\text{CH}_2\text{F}_2$  ( $\lambda = 122,5$  мкм),  $\text{CH}_2\text{DOH}$  ( $\lambda = 124,4$  мкм) и  $\text{CH}_3\text{OH}$  ( $\lambda = 186,0$  мкм) исследованы переходы  $J = -3/2 \rightarrow 5/2$ ,  $\Omega = 3/2$  и  $J = 1/2 \rightarrow 3/2$ ,  $\Omega = 1/2$ . В спектрах разрешена сверхтонкая структура, отвечающая ядрам Н и F. На основании анализа спектра перехода  $J = -3/2 \rightarrow 5/2$ ,  $\Omega = 3/2$  определены молекулярные постоянные состояния  $X^2\Pi(v''=0)$  иона  $\text{HF}^+$ . Библ. 19. А. Е.

М.Н.

окт. 1984, 18, № 12.

$\text{HF}^+$

ОТ 19/83

1984

21 Б1258. Измерение вращательного спектра  $\text{HF}^+$  с помощью лазерного магнитного резонанса. Measurement of the rotational spectrum of  $\text{HF}^+$  by laser magnetic resonance. Hovde D. C., Schäfer E., Strahan S. E., Ferrari C. A., Ray D., Lubic K. G., Saykally R. J. «Mol. Phys.», 1984, 52, № 1, 245—249 (англ.)

Вращательные переходы в состоянии  $X^2\Pi$  молек. иона  $\text{HF}^+$  исследованы с помощью спектроскопии лазерного магнитного резонанса при использовании линии 122,5 мкм лазера на  $\text{CH}_2\text{F}_2$  и линии 122,4 мкм лазера на  $\text{CH}_2\text{DOH}$ . Изучено 20 резонансных линий, обусловленных переходами  $J=3/2 \rightarrow 5/2$ ,  $\Omega=3/2$  и  $J=1/2 \rightarrow 3/2$ ,  $\Omega=1/2$  с полностью разрешенным сверхтонким расщеплением от ядер фтора и водорода. Полученные эксперим. данные обработаны с помощью модельного эффективного оператора, учитывающего ядерный спин только ядер фтора. Для состояния  $v=0$ ,  $X^2\Pi$  уточнены значения вращат. постоянных  $B_0=513070(10)$  МГц,  $D_0=66,23(27)$  МГц, и параметров А-удвоения  $p=7741(19)$  МГц,  $q=-1214,9(18)$  МГц.

М-1.

Х.1984, 19,  
N 21

Б. И. Жилинский

$\text{HF}^+$

On. 18728

1984

100: 74243m PNO-CEPA and MCSCF-SCEP calculations of transition probabilities in hydroxyl radical, hydrogen fluoride ( $\text{HF}^+$ ), and hydrogen chloride ( $\text{HCl}^+$ ). Werner, Hans Joachim; Rosmus, Pavel; Schaetzl, Wolfgang; Meyer, Wilfried (Fachber. Chem., Univ. Frankfurt/Main, D 6000 Frankfurt/Main, Fed. Rep. Ger.). *J. Chem. Phys.* 1984, 80(2), 831-9 (Eng). Electronic transition moment functions were calcd. for the  $A \ ^2\Sigma^+ - X^2\Pi$  transitions in OH,  $\text{HF}^+$ , and  $\text{HCl}^+$  by using RHF, pseudonatural orbital PNO-CI, PNO-CEPA, MCSCF, and MCSCF-SCEP (self-consistent electron pair) wave functions. The vibrational band transition probabilities were obtained, and the resulting radiative lifetimes were compared with measured values. For OH and  $\text{HCl}^+$  the deviations are smaller than 10%, but the theor. lifetimes of  $\text{HF}^+$  are larger by about 300% than the exptl. values. For the electronic ground states of  $\text{HF}^+$  and  $\text{HCl}^+$  vibrational transition probabilities were calcd. from MCSCF-SCEP dipole moment functions. Both ions are predicted to be excellent absorbers and emitters in the IR spectral region.

$\text{HCl}^+$

C.A. 1984, 100, N10

$\text{HF}^+$

1986

Requera A., Zúñiga J.,  
et al.

H. n.,

Ei;

J. Quant. Spectrosc. and  
Radiat. Transfer, 1986,  
35, N1, 29-37.

(cell. CN;  $\text{II}$ )

$\text{HF}^+$

1987

108: 227145y. Rotational predissociation of hydrogen fluoride ion ( $\text{1}^+$ ). Lee, A. R.; Hamdan, M.; Brenton, A. G.; Beynon, J. H. (Dep. Chem., Univ. Coll. Swansea, Swansea, UK SA2 8PP). *Rapid Commun. Mass Spectrom.* 1987, 1(2), 26-7. (Eng). The unimolecular translational energy spectrum of the  $\text{H}^+$  fragments from  $\text{HF}^+$  indicates several discrete energy releases. It is suggested that these energy releases are caused by the predissocn. of the  ${}^2\text{II}$  slate in rotational levels  $J \leq 20$ .

Fraumann  
Neguccio.

C.A.1988, 108, N 26

$FH^+(z)$

[sec. 25904]

1987

Pople J.A.

$\Delta_f H^\circ$ ,  
u.n.

J. Phys. Chem., 1987,  
91, N 1, 155 - 162.

$\text{HF}^+$

1988

1 Д45. Теоретическое исследование диссоциации ионов  $\text{HF}^+$  и  $\text{DF}^+$  в состоянии  $B^2\Sigma^+$  в приближении классических траекторий. Theoretical study of the dissociation of the  $\text{HF}^+$  and  $\text{DF}^+$  ions in the  $B^2\Sigma^+$  state by classical trajectories / Cacelli Ivo // Chem. Phys.—1988.— 124, № 3.— С. 347—358.— Англ.

С учетом взаимодействия конфигураций рассчитаны адиабатич. кривые 12 нижних электронных состояний, принадлежащих симметрии  ${}^2\Sigma^+$ . Движение ядер рассматривалось в приближении классич. траекторий. Начальные состояния выбирались в соответствии с ф-цией распределения Вигнера. Схема распада включает сложные неадиабатич. взаимодействия с одновременным взаимодействием нескольких адиабатич. состояний. Приводится сравнение с эксперим. данными. Планируется проведение квантовых расчетов с использованием полученных потенц. кривых. Однако основные особенности процессов диссоциации достаточно хорошо описываются и в полукласич. приближении.

Г. К.

(7)

сф. 1989, N 1

*HF<sup>+</sup>*

*1988*

1 Б4023. Теоретическое исследование диссоциации ионов HF<sup>+</sup> и DF<sup>+</sup> методом классических траекторий в  $B^2\Sigma$ -состоянии. Theoretical study of the dissociation of the HF<sup>+</sup> and DF<sup>+</sup> ions in the  $B^2\Sigma^+$  state by classical trajectories / Cacelli I. // Chem. Phys.— 1988.— 124, № 3.— 347—358.— Англ.

В широком базисе гауссовых ф-ций с учетом КВ рассчитаны потенциальные кривые 12-ти низших состояний симметрии  $^2\Sigma$  иона HF<sup>+</sup>, а также матричные элементы неадиабатич. связи между термами. В расчете полностью игнорировалось спин-орбитальное взаимодействие. Эти результаты использованы для формулировки полуклассич. ур-ний неадиабатич. переходов при диссоциации иона HF<sup>+</sup>, возникающего при ионизации HF электронным ударом. Ур-ния проинтегрированы вдоль траектории, рассчитанной для эффективной само-

*расчет  
потенц. крив*

*X. 1989, N1*

согласованной потенциальной энергии, к-рая определялась усреднением по нестационарной электронной волновой ф-ции. Полученные результаты предсказывают, что при диссоциации состояния  $B^2\Sigma$  иона HF<sup>+</sup> при франк-кондоновской ионизации возникает ~60% ионов F<sup>+</sup> в различных ридберговских состояниях. Атомы водорода, к-рые образуются при этой диссоциации, находятся гл. обр. в основном состоянии (95%).

Е. Е. Никитин



FH<sup>+</sup>

1988

Hirota E.

IK  
razeph.  
crekmp

Philos. Trans. R. Soc.  
London, A 1988, 324  
(1578), 131-9.



(c.c. FHF<sup>-</sup>; ii)

HF<sup>+</sup>

1988

15 Б1050. Об изучении поляризуемостей и гиперполяризуемостей с использованием волновых функций неограниченного метода Хартри—Фока. Примеры:  $\text{NF}^+$  и  $\text{HCl}^+$ . On the study of polarisabilities and hyperpolarisabilities with an unrestricted Hartree—Fock wave function. Case study:  $\text{HF}^+$  and  $\text{HCl}^+$ . Waite J., Papadopoulos M. G. «J. Mol. Struct. Theochem», 1988, 164, № 3—4, 413—415 (англ.)

М.Н.

Средняя поляризуемость  $\alpha$  и средн. первая и вторая гиперполяризуемости  $\beta$  и  $\gamma$ -ионов  $\text{HF}^+$  и  $\text{HCl}^+$  рассчитаны с помощью самосогласованной теории возмущений Мак—Вини на основе волновых ф-ций неограниченного метода ССП. Исследована зависимость  $\alpha$ ,  $\beta$  и  $\gamma$  от числа включенных в базис поляризаци. и диффузных ф-ций и от их экспоненциальных параметров. Отмечена высокая чувствительность гиперполяризуемостей к изменениям базисного набора. А. А. Сафонов

(7) A

X. 1988, 19, N 15

HCl<sup>+</sup>

*HF<sup>+</sup>*

1989

2 Б1291. Внутридопплеровская прямая инфракрасная лазерная абсорбционная спектроскопия в пучках быстрых ионов: сверхтонкая структура фтора в HF<sup>+</sup>. Sub-Doppler direct infrared laser absorption spectroscopy in fast ion beams: The fluorine hyperfine structure of HF<sup>+</sup> / Coe J. V., Owrutsky J. C., Keim E. R., Agman N. V., Hovde D. C., Saykally R. J. // J. Chem. Phys.— 1989.— 90, № 8.— С. 3893—3902.— Англ.

Разработан новый метод измерения колебательно-вращат. спектров молек. ионов с внутридопплеровским разрешением  $\sim 20$  МГц, в к-ром простота и общность непосредственного детектирования поглощения сочетается с селективностью и высокой точностью лазерного метода с использованием пучков быстрых ионов. Методу дано название DLASFIB, что означает «прямая лазерная абсорбц. спектроскопия в быстрых ионных пучках» (НЛАСБИП). Возможности нового метода продемон-

*III-1.*

*X. 1990, № 2.*

стрированы на примере исследования сверхтонкой структуры колебательно-вращат. переходов в состоянии  $X^2\Pi_{1/2}$  иона  $\text{HF}^+$ . Всего измерен 31 переход с абс. точностью частотных измерений 100 МГц и относит. точностью не хуже 5 МГц. С учетом ИК- и ДИК-данных определены вращат. спин-орбитальные постоянные и постоянные  $\Lambda$ -удвоения.

С. Н. Мурзин

к пе

$\text{HF}^+$

1989

110: 239396k Sub-Doppler direct infrared laser absorption spectroscopy in fast ion beams: the fluorine hyperfine structure of fluoroniumyl ( $\text{HIF}^+$ ). Coe, J. V.; Owrtusky, J. C.; Keim, E. R.; Agman, N. V.; Hovde, D. C.; Saykally, R. J. (Dep. Chem., Univ. California, Berkeley, CA 94720 USA). *J. Chem. Phys.* 1989, 90(8), 3893-902 (Eng). The development is repeated of a new general technique for measuring vibration-rotation spectra of mol. ions with sub-Doppler resoln. and with accurate detn. of the mass and no. d. of the carriers of all spectral features. With this method, called direct laser absorption spectroscopy in fast ion beams (DLASFIB), the 1st observation was made of direct absorption of photons by ions in a fast ion beam. Hyperfine-resolved vibration-rotation transitions of  $\text{HF}^+$  were measured, and along with optical combination differences and laser magnetic resonance data, were analyzed to yield the fluorine hyperfine parameters  $a$ ,  $b$ ,  $c$  and  $d$  for both  $v = 0$  and  $v = 1$  in the  $X^2\Pi$  state. Comparisons with many-body perturbation theory results are presented:

Сверхмощная  
смесь иона

C.A. 1989, 110, N 26

HF<sup>+</sup>

1989

Горшемков В.Н.,  
Парков Г.И. II гр.

Горск. ун-т. Горский, 1989,  
кн. 2, 18с. Библиогр. 3 лист.

Рус. пер. в Винити 21.03.89,  
N 1785 - ● 89.

(сес. 2; III)

$\text{HF}^+$

(Om 33126)

1989

11 Б1371. Лазерная спектроскопия с модуляцией скорости молекулярных ионов: Вращательно-колебательный спектр  $\text{HF}^+$  с разрешенной сверхтонкой структурой. Velocity modulation laser spectroscopy of molecular ions: The hyperfine-resolved rovibrational spectrum of  $\text{HF}^+$  / Hovde D. C., Keim E. R., Saykally R. J. // Mol. Phys.— 1989.— 68, № 3.— С. 599—607.— Англ.

М.Н.

Методом лазерной спектроскопии с модуляцией скорости молек. ионов в пучке при использовании лазера на центре окраски в обл. частот 2950—4000  $\text{см}^{-1}$  с точностью 0,003  $\text{см}^{-1}$  измерено 34 перехода  $R$  — ветви полосы  $v=1-0$  иона  $\text{HF}^+$  в электронном состоянии  $X_2\Pi$ . Для переходов с низкими значениями  $J$  измерена



X.1990, N 11.

*F* — сверхтонкая структура переходов. Анализ полученного спектра выполнен с учетом центробежного искажения, *L* — удвоения, *F* — расщепления и с использованием известных электронных спектров и данных по лазерному магнитному резонансу. Определены частота колебат. перехода  $2912,5223(43)$  см $^{-1}$  и вращат. постоянные в состояниях  $v=0$  и  $v=1$ , соотв.,  $B=513073,5(92)$  и  $487406(12)$  МГц. Полученные результаты согласуются с данными для родственных молек. ионов.

С. Н. Мурзин

$\text{HF}^+$

(M 33126)

1989

W. C. KEIM,  
U. N. B X27  
CDGMOLHULL

112: 44623r Velocity modulation laser spectroscopy of molecular ions. The hyperfine-resolved rovibrational spectrum of fluoroniumyl ( $\text{HF}^+$ ). Hovde, David C.; Keim, Eric R.; Saykally, Richard J. (Dep. Chem., Univ. California, Berkeley, CA 94720 USA). *Mol. Phys.* 1989, 68(3), 599-607 (Eng). Thirty-four  $v = 1 \leftarrow 0$  R branch IR transitions in the  $X_2\Pi$  states of the  $\text{HF}^+$  mol. ion were measured by velocity modulation laser absorption spectroscopy. Fluorine hyperfine structure was resolved for low  $J$  transitions. From a weighted fit of all available high resoln. data, values were detd. for the  $v = 0$  and  $v = 1$  fluorine hyperfine consts. (except b(1),  $\lambda$ -doubling parameters, rotational and centrifugal distortion consts. and the vibrational band origin. Mol. expectation values derived from the hyperfine consts. are compared to similar quantities for OH and NH $^-$ . An anal. is presented for the  $v = 0$  proton hyperfine structure obsd. previously by laser magnetic resonance.

C.A. 1990, 112, N 6

$Hf^+$

1989

11 Д123. Метод ЧПДП/С-КВ для учета спин-орбитального взаимодействия: применение к гетероядерным двухатомным молекулам из атомов основных подгрупп и переходных металлов. A spin — orbit interaction enhanced INDO/S — CI technique: Applications to main group and transition metal heteronuclear diatomic molecules / Kotzian Mansfred, Rösch Notker, Pitzer Russell M., Zerner Michael C. // Chem. Phys. Lett.— 1989.— 160, № 2.— С. 168—174.— Англ.

Методом ССП МО ЛКАО в валентном приближении ЧПДП/С (в спектроскопич. параметризации) с учетом конфигурац. взаимодействия (КВ), модифицированным для включения спин-орбитального взаимодействия, исследовано электронное строение  $He^+$ ,  $HCl^+$ ,  $HBr^+$ ,  $HJ^+$ ,  $NH^+$ ,  $OH$ ,  $NH$ ,  $OH^+$ ,  $NO$ ,  $CO$ ,  $TiO$  в различных состояниях. Полученные результаты позволяют удовлетворительно интерпретировать спектроскопич. данные и спин-орбитальное расщепление. Отмечено, что большинство переходов для  $TiO$  можно охарактеризовать как атомоподобные. Для состояния  $E^3\Pi'$  константа спин-орбитального взаимодействия оценена в  $85 \text{ см}^{-1}$ .

В. Л. Лебедев

дл. 1

(10)

оф 1990, № 11

2 ... 3 n

$FH^+$

1990

Baeck K. K., Lee Yoon  
Scep.

J. Chem. Phys. 1990.

93, N8. C. 5778-5782.

(csc.  $BH^+$ ;  $\text{II}$ )

*HF<sup>+</sup>*

*OM 34836*

*1990*

6 Б1041. Зависимость от базиса и от выбора представления неэмпирических радиационных времен жизни для состояния  $A^2\Sigma^+$  молекулы HF<sup>+</sup>. Basis set and gauge dependence of ab initio radiative lifetimes for the  $A^2\Sigma^+$  state of the HF<sup>+</sup> molecule / Cacelli Ivo // Chem. Phys. Lett.—1990.— 174, № 1.— С. 37—45.— Англ.

*дд/1-*

Рассмотрены способы неэмпирического расчета радиационных времен жизни двухатомных молекул с использованием представления матричных элементов через дипольные операторы импульса и координаты. Конкретные вычисления выполнены для переходов между состояниями  $A^2\Sigma^+$  и  $X^2\Pi$  иона HF<sup>+</sup>. Потенциальные кривые и волновые функции определены методами Хартри—Фока и конфигурационного взаимодействия в области межъядерных расстояний от 1,2 до 2,8 ат. ед. Сопоставлены результаты, полученные с шестью базисными наборами сгруппированных гауссовых функций, по разному учитывающими поларизацию АО. Сделано заключение, что использование координатного представления позволяет получить более стабильные результаты по отношению к вариациям базиса.

А. В. Немухин

*X. 1991, N 6*

1990

HF  
10 Д119. Анализ подхода КВПИО/ДСКВ для описания характера однократной связи в HF и F<sub>2</sub>. Analysis of the CIPSI/DCCI approach to characterize the HF and F<sub>2</sub> single bond / Merchan Manuela, Daudey Jean-Pierre, Gonzalez-igue Remedios, Nebot-Gil . Ignacio // Chem. Phys.— 1990.— 141, № 2—3.— С. 285—296.— Англ.

Обсуждено использование метода КВ с пертурбационным итерационным отбором конфигураций (КВПИО), дополненного условием диссоциационной согласованности (т. е. отбираются только те конфигурации, которые обеспечивают получение корректных диссоциационных энергий) (ДСКВ), для расчетов энергетических и структурных характеристик молекул с однократной связью. В качестве примера выполнены расчеты энергии и равновесных межъядерных расстояний молекул HF и F<sub>2</sub>. Отмечено, что полученные результаты хорошо согла-

(11) (18)

09.1991, N.10

суются с результатами расчетов с использованием полного КВ и с имеющимися эксперим. данными, и, тем самым, метод КВПИО/ДСКВ может быть успешно использован для описания молекул, аналогичных рассмотренным. Существенно при этом, что данный метод позволяет существенно уменьшить вычислительные затраты без ухудшения точности получаемых результатов.  
Библ. 34.

А. И. К.

жевъ

HF

1990

19 Б1032. Анализ подхода CIPSI/DCCI для описания простой связи в HF и F<sub>2</sub>. Analysis of the CIPSI//DCCI approach to characterize the HF and F<sub>2</sub> single bond / Merchan Manuela, Daudey Jean-Pierre, Gonzalez-Luque Remedios, Nebot-Gil Ignacio // Chem. Phys.—1990.— 141, № 2—3.— С. 285—295.— Англ.

Исследованы возможности учета основных корреляц. вкладов в энергию диссоциации молекул HF и F<sub>2</sub> при использовании компактных конфигурац. разл. В основу подхода положена схема диссоциационно согласованного конфигурац. взаимодействия (DCCI). Для отбора наиболее важных вкладов в DCCI применялась вариационно-пертурбац. процедура CIPSI. Наибольший из использованных базисов включал наборы сгруппир.

(4) 87

X.1991, N19 F<sub>2</sub>

гауссовых ф-ций  $(6s6p2d1f)/[5s4p2d1f]$  на F и  $(4s1p)/[2s1p]$  на H. Схема DCCI усовершенствована путем включения дисперсионных эффектов, что позволило существенно улучшить описание молекулы  $F_2$ . Результаты расчетов методом CIPSI/DCCI хорошо согласуются с данными полного метода конфигурац. взаимодействия.

А. А. Сафонов

$\text{HF}^+$

1991

On. 35868

114: 111706b Photofragment spectroscopy of fluoroniumyl ( $\text{HF}^+$ ). Cosby, P. C.; Helm, H.; Larzilliere, M. (Mol. Phys. Lab., SRI Int., Menlo Park, CA 94025 USA). *J. Chem. Phys.* 1991, 94(1), 92-105 (Eng). Electronic absorptions leading to predissocn. of the  $\text{HF}^+$  ion are obsd. by coaxial laser-ion beam photofragment spectroscopy. The absorptions occur in the  $A^2\Sigma^+ \leftarrow X^2\Pi$  system and terminate in the  $N = 4$ ,  $\nu = 3$  level of the A state which predissociates into  $\text{H}^+ + \text{F}$ . The (3,4) band of this system is obsd. for the first time and the observations extend earlier emission measurements in the (3,0) and (3,2) bands to higher rotational levels. In addn., the nuclear hyperfine structure of the ion is obsd. Extended mol. consts. are derived for the X and A states and the first values are given for the hyperfine structure consts. of the A state.

ll. 1.

$A^2\Sigma - X^2\Pi$

C.A.: 1991, 114, N/2

HF

1991

Hedderich H. G.,  
Freim C. I. et al.

v.n. Can. J. Chem. 1991, 69  
(11), 1659-71.

(c.u. LiF;  $\bar{m}$ )

FH\*\* Lin Shu-bin, Lin Xiao-Ye 1991  
et al.,

M.R. J. Mol. Struct. Theor Chem.  
1991, 251, 27-81

(all. FH\*\*;  III)

FH

1991

Santa Michael, Leroy G.

of Mol. Street. Theochem.

M.N.,

1991. 226, N 3-4. C. 30<sup>2</sup>-

1/2 M

325.

(CER.  LIL; 

HF

1991

Sini Bjerghi; Maitre Ph.  
et al.

J. Colloid Struct. Theochem.

v. n. 1991, 229, c. 163-168.

(Cell.   $M_2$ ;  $\text{III}^-$ )

1991

*HF*

18 Б1030. Уточненные потенциальные кривые и энергии диссоциации HF, DF и TF. Improved potential energy curves and dissociation energies for HF, DF and TF / Zemke Warren T., Stwalley William C., Coxon John A., Hajigeorgiou Photos G. // Chem. Phys. Lett.— 1991.— 177, № 4—5.— С. 412—418.— Англ.

*ll. 1, № 2*

Получены новые уточненные потенциальные кривые основных электронных состояний молекул HF, DF и TF, основанные главным образом на эксперим. спектроскопич. данных. При построении кривых использован предложенный ранее ПТ (Coxon J. A., Hajigeorgion P. G. // J. Mol. Spectrosc.— 1989.— 138.— С. 89.) и дальнодействующий ПТ, включающий дисперсионный и обменный вклады. Дальнодействующие вклады уточнены при сопоставлении рассчитанных энергий и ширин ряда квазисвязанных уровней с эксперим. значениями. Получены новые точные значения энергии диссоциации  $D_e$   $49\ 362 \pm 5$ ,  $49\ 346 \pm 8$  и  $49\ 341 \pm 9$   $\text{см}^{-1}$  для HF, DF и TF, соотв. Предсказаны не наблюдавшиеся экспериментально колебат. уровни  $E_{v,J=0}$  для HF ( $v=20$ , на  $23\ \text{см}^{-1}$  ниже диссоциац. предела) и DF ( $v=27$  и  $28$ , на  $144$  и  $10\ \text{см}^{-1}$  ниже диссоциац. предела, соотв.).

А. А. Сафонов

*10.1991, № 18  
12 (12)*

$\mu F^+$

1992

78 Б1064. Теоретическое изучение диссоциации  $HF^+$  в состоянии  $B^2\Sigma^+$  квантово-механическими методами.  
Theoretical study of the dissociation of  $HF^+$  in the  $B^2\Sigma^+$  state by quantum-mechanical methods /Cacelli Ivo //J. Chem. Phys.—1992.—96, № 11.—С. 8439—8449.—Англ.

ll. n.

Квантово-механически исследован путь диссоциации иона  $HF^+$  в состоянии  $B^2\Sigma^+$ . Зависящая от времени виб-  
ронная волновая ф-ция разложена по 12 низшим элек-  
тронным состояниям  $^2\Sigma^+$ , рассчитанным методом конфи-  
гурац. вз-вия при большом числе межъядерных расстоя-  
ний. Отмечено сильное вибровое вз-вие, часто вклю-  
чающее несколько состояний одновременно. А. А. Сафонов

Х. 1993, № 8

$HX^{2+}$

$X = F, Cl, Br, I$

$HF^{2+}$

1997

128: 159126d New analytical potential energy function for doubly charged diatomic ions. Zhu, Z. H.; Wang, F. H.; Chen, B.; Tan, M. L.; Wang, H. Y. (Inst. of At. and Mol. Phys., Chengdu Univ. of Sci. and Technol., Chengdu, Peop. Rep. China 610065). *Mol. Phys.* 1997, 92(6), 1061–1065 (Eng), Taylor & Francis Ltd.. An anal. potential function for doubly charged diat. ions is proposed as  $V = a_1/(\rho - a_2) - a_3/(\rho + a_4)^2$ , where  $a_1-a_4$  are parameters. This function can be used to describe the potential curves for doubly charged diat. ions with both potential min. and max. where  $\rho = R - R_{\min}$ , or without any stationary point where  $\rho = R$ . This form of potential function for  $HX^{2+}$  ( $X = F, Cl, Br$  and  $I$ ),  $HCl^{3+}$  and  $HCl^{2-}$ , and their dissoc. channels has been derived for the first time. The doubly vertical ionization potential for HCl ground state is discussed in detail.

(73)



$HCl^{2+}, HCl^{3+}, HCl^{2-}, HF^{2+}, Hg^{2+}$

C.A. 1998, 128, N/3

$\text{Rf}^{2+}$

1998

Wang, Fan-Hou; et al.,

romesys.

Q-Me,

$\lambda_{\text{max}}$ ,

$\Delta E$ ,

guccos.

spyes, cal-NCT.  
M.N.

Chem. Phys. Lett.

1998, 15(10), 715-717

(all)  $\text{Rf}^{2+}$ ; III)

F: HF+

P: 3

131:189901 Collisional quenching of the  
A2.SIGMA.+(v' = 2)HF+ state by He atoms.

Madirbaev, V. Zh.; Zarvin, A. E.  
(Novosibirsk State University, Novosibirsk 630090,  
Russia). J. Appl. Mech. Tech. Phys., Volume Date  
1993 39(6), 832-836 (English) 1999 Results of an  
exptl. study of the process of quenching of excited  
states of HF+ ions in a hydrofluoride-helium  
electron-beam plasma are reported. rate const. of  
quenching of A2.SIGMA.+(v' = 2)HF+ by helium atoms  
is meas The ions were excited by activation of the  
rarefied gas mixt. by an elect beam. Diagnostics  
of internal states of the ions was performed using  
the electron-vibration-rotation spectrum of their  
spontaneous emission.

1999

*2000*

F: HF2+

P: 3

133:125583 The singlet and triplet states of HF2+: a theoretical study. Li, G. P.; Hamilton, I. P. Department of Chemistry, Wilfrid Laurier University Waterloo N2L 3C5, Can. Chem. Phys. Lett., 323(3,4), 263-268 (English) 2000. We study the singlet and triplet states of HF2+ at the B3LYP, BHandH, BHandHLYP, MP2, MP3, MP4 and QCISD(T) levels of theory with the 6-311++G(2DF,2PD) basis set. We report geometries,

vibrational frequencies and vertical excitation energies. We find that the ground state of HF<sub>2</sub><sup>+</sup> is the Cs HFF<sup>+</sup> singlet with  $r(F-F) = 1.444$ ,  $r(H-F) = 0.980 \text{ \AA}$  and  $\alpha = 101.96^\circ$ ;  $\omega_1 = 857$ ,  $\omega_2 = 1145$  and  $\omega_3 = 3320 \text{ cm}^{-1}$ . For the triplet state, there are two stable structures: the Cs HFF<sup>+</sup> triplet ( $T_e = 0.79 \text{ eV}$ ) with  $r(F-F) = 1.799$ ,  $r(H-F) = 0.962 \text{ \AA}$  and  $\alpha = 102.53^\circ$ ;  $\omega_1 = 543$ ,  $\omega_2 = 734$  and  $\omega_3 = 3530 \text{ cm}^{-1}$  and the C.infin.v FHF<sup>+</sup> triplet ( $T_e = 0.92 \text{ eV}$ ) with  $r(H-F) = 1.179 \text{ \AA}$ ;